

# 一种改进的变结构交互多模型被动跟踪算法

王占磊<sup>1</sup>, 张建业<sup>2</sup>, 张鹏<sup>1</sup>, 程洪炳<sup>1</sup>

(1. 空军工程大学工程学院, 陕西 西安 710038; 2. 空军工程大学科研部, 陕西 西安 710051)

**摘要** 针对干扰环境下跟踪机动目标时常无法获得距离信息的问题, 提出了一种新的被动跟踪算法对目标进行精确的跟踪定位。算法针对被动跟踪中状态与量测之间存在的非线性关系, 首先采用最小二乘原理对角度量测进行预处理, 然后以预处理结果作为输入, 进行交互多模型滤波, 从而减小非线性量测方程的线性化过程带来的误差。然而, 交互多模型滤波中所采用的固定结构模型集并不能保证跟踪精度, 为解决这一问题, 算法引入序列似然比检测对模型集进行调整, 使模型对不同的目标机动模式有更强的自适应能力, 从而减小模型之间的竞争, 确保跟踪效果。为了验证新算法的有效性, 在相同实验条件下, 用2种算法分别对同一设定轨迹进行仿真估计, 结果表明, 新算法可以进一步提高跟踪精度。

**关键词** 被动跟踪算法; 最小二乘; 交互多模型; 变结构; 序列似然比

**DOI** 10.3969/j.issn.1009-3516.2011.04.005

**中图分类号** TN957 **文献标识码** A **文章编号** 1009-3516(2011)04-0018-05

在复杂环境下对机动目标进行跟踪<sup>[1]</sup>, 常采用多站测角被动跟踪算法, 而算法中目标的状态与角度量测之间存在非线性关系。现有的方法主要是对其进行线性化, 但线性化过程会带来滤波精度的下降, 甚至会产生滤波发散而丢失目标。利用最小二乘原理对目标进行交叉定位, 可以较好地解决非线性量测方程的线性化过程带来的误差<sup>[2]</sup>。

同时, 由于单模型不能很好地描述目标的运动, 人们提出了交互多模型 (Interacting Multiple Model, IMM) 算法, 并在目标跟踪中取得了成功<sup>[3-4]</sup>。然而, IMM 算法是一种基于固定模型集的算法, 需要大量的模型来保证跟踪精度, 而庞大的模型集不仅会导致计算量巨大, 过于细化的模型空间也可能破坏贝叶斯推理要求模型间独立的要求, 不一定能改善跟踪性能<sup>[5-6]</sup>。为了解决这一问题, 1992年 X R Li 在文献[7]中提出了变结构的思想: 通过对量测信息以及一些验前和验后信息的融合, 任何时刻使用的模型集合通过自适应过程确定。目前已提出的模型集自适应方法主要有: 模型组切换<sup>[8]</sup>、可能模型集<sup>[9]</sup>以及自适应或期望模式修正等。本文在模型组切换自适应机制中, 引入了序列似然比检测 (Sequential Likelihood Ratio Test, SLRT), 进行标准的模型集切换, 以实现自适应功能<sup>[10-11]</sup>。

综上, 本文提出基于最小二乘的变结构交互多模型 (Least Squares - Variable Structure Interacting Multiple Model, LS - VSIMM) 被动跟踪算法, 算法首先采用最小二乘法对目标位置进行粗估计, 然后在自适应 IMM 的框架下进行线性卡尔曼滤波, 从而得到最终估计。

## 1 LS - VSIMM 算法

每个观测站测得目标的俯仰角和方位角可确定一条定位线, 在没有量测误差的情况下, 所有定位线的公

\* 收稿日期: 2010-12-14

基金项目: 国家部委基金资助项目 (9140A27020308JB3201); 航空科学基金资助项目 (20100818017)

作者简介: 王占磊 (1987-), 男, 河南安阳人, 硕士生, 主要从事多源信息融合技术研究。

E-mail: 505789661@163.com

共交点即目标位置。但实际情况下存在量测误差,使这些定位线不一定交于一点。由最小二乘法原理,可以认为与每条定位线距离的和最短的点就是目标的位置估计。将LS得到的目标位置估计值作为卡尔曼滤波的伪量测,进行IMM滤波,可使目标的状态与目标的伪量测之间转化为线性关系。

模型集自适应是一个决策问题,可以根据统计学假设检验来公式化表示。在实际中,假设检验的解决方案可能是序列的或者非序列的。由于观测是序列可用的,且在相同决策错误率情况下序列检测比非序列检测快得多,同时序列检测不需要事先确定样本的大小,所以引入序列似然比进行模式检测,来实现模型集的自适应。每一时刻选定的模型集对应一组状态估计器,对每个估计器分别进行卡尔曼滤波,并对估计值进行加权组合可以得到最优的估计。

### 1.1 基于多站测角的LS法

每个观测站  $i(i=1,2,\dots,N)$  测得的俯仰角  $\alpha_i$  和方位角  $\beta_i$  可确定一条定位线,设  $L_i$  表示由观测站  $i$  得到的定位线,  $T(x_T, y_T, z_T)$  是目标的位置,则定位线  $L_i$  的公式为:

$$\frac{x-x_i}{a_i} = \frac{y-y_i}{b_i} = \frac{z-z_i}{c_i} \quad (1)$$

式中:  $(x_i, y_i, z_i)$  为观测站  $i$  的坐标;  $(a_i, b_i, c_i)$  为定位线  $L_i$  的方向余弦,分别为:

$$a_i = \sin\alpha_i \cos\beta_i, \quad b_i = \sin\alpha_i \sin\beta_i, \quad c_i = \cos\alpha_i \quad (2)$$

由几何关系并经过一定的数学变换,可得到目标相对于  $N$  条定位线的距离的平方和  $d$ , 分别令  $\frac{\partial d}{\partial x_T} = 0$ 、 $\frac{\partial d}{\partial y_T} = 0$ 、 $\frac{\partial d}{\partial z_T} = 0$ , 可得目标位置的最小二乘估计值如下:

$$\begin{aligned} \hat{x}_T &= (EMN + FRS + TRG - GMS - TFN - R^2E)/D; \\ \hat{y}_T &= (LFN + TGS + ERS - S^2F - GRL - TEN)/D; \\ \hat{z}_T &= (LMG + TRE + TFS - SME - RFL - T^2G)/D \end{aligned} \quad (3)$$

式中  $D = LMN + 2TRS - S^2M - R^2L - T^2N$ , 其余各参数分别为:  $L = \sum_{i=1}^N (b_i^2 + c_i^2)$ ;  $M = \sum_{i=1}^N (c_i^2 + a_i^2)$ ;  $N = \sum_{i=1}^N (b_i^2 + a_i^2)$ ;  $R = -\sum_{i=1}^N b_i c_i$ ;  $S = -\sum_{i=1}^N a_i c_i$ ;  $T = -\sum_{i=1}^N b_i a_i$ ;  $E = \sum_{i=1}^N [(b_i^2 + c_i^2)x_i - b_i a_i y_i - a_i c_i z_i]$ ;  $F = \sum_{i=1}^N [(a_i^2 + c_i^2)y_i - b_i a_i x_i - b_i c_i z_i]$ ;  $G = \sum_{i=1}^N [(b_i^2 + a_i^2)z_i - c_i a_i x_i - b_i c_i y_i]$ 。同理,可求得目标估计位置的方差  $\sigma_{x_T}^2$ 、 $\sigma_{y_T}^2$  和  $\sigma_{z_T}^2$ 。

### 1.2 IMM算法

假定  $k$  时刻目标运动模型集为  $M_j$ , 若  $\forall j \in M_j$ , 各模型的状态方程和观测方程可表示为:

$$\mathbf{X}(k+1) = \varphi_j(k)\mathbf{X}(k) + \mathbf{v}_j(k); \quad \mathbf{Z}(k) = \mathbf{H}_j(k)\mathbf{X}(k) + \mathbf{w}_j(k) \quad (4)$$

式中:  $\varphi_j(k)$  是第  $j$  个模型的状态转移阵;  $\mathbf{v}_j$  与  $\mathbf{w}_j$  为相互独立的状态噪声和观测噪声, 且均值分别为  $\bar{\mathbf{v}}_j$  和  $\bar{\mathbf{w}}_j$  协方差矩阵为  $\mathbf{Q}_j$  和  $\mathbf{R}_j$ 。各模型之间的转移概率由马尔可夫概率转移矩阵  $\pi$  确定, 其中的元素  $\pi_{ij}$  表示目标由第  $i$  个运动模型转移到第  $j$  个运动模型的概率。在该算法中, 需将IMM算法中的观测噪声方差  $R$  用最小二乘估计得到的估计误差的方差替代。

对于  $\forall i, j \in M$ , 下面给出IMM算法的一个递推循环:

1) 模型条件重初始化:

$$\mu_j(k-1/k-1) = \pi_{ij} \mu_i(k-1)/c_j, \quad c_j = \sum_i \pi_{ij} \mu_i(k-1);$$

$$\mathbf{X}_{j0}(k-1/k-1) = \sum_i \mathbf{X}_i(k-1/k-1) \mu_j(k-1/k-1);$$

$$\mathbf{P}_{j0}(k-1/k-1) = \sum_i \{ \mathbf{P}_i(k-1/k-1) + [\mathbf{X}_i(k-1/k-1) - \mathbf{X}_{j0}(k-1/k-1)][\mathbf{X}_i(k-1/k-1) - \mathbf{X}_{j0}(k-1/k-1)]^T \} \mu_j(k-1/k-1)$$

式中:  $\mu_{ij}(k-1/k-1)$  为混合概率;  $c_j$  为规范化系数。

2) 模型条件滤波及模型概率更新:

$$\begin{aligned}\hat{X}_j(k/k-1) &= \varphi_j(k-1)\hat{X}_{j0}(k-1/k-1) + \bar{v}_j(k-1); \\ P_j(k/k-1) &= \varphi_j(k-1)P_{j0}(k-1/k-1)\varphi_j^T(k-1) + Q_j(k-1); \\ r_j(k) &= Z(k) - H_j(k)\hat{X}_j(k/k-1); S_j(k) = H_jP_j(k/k-1)H_j^T(k) + R_j(k); \\ \Lambda_j(k) &= |2\pi S_j(k)|^{-1/2} \exp\left[-\frac{1}{2}r_j(k)^T S_j(k)^{-1}r_j(k)\right]; K_j(k) = P_j(k/k-1)H_j^T(k)S_j^{-1}(k); \\ \hat{X}_j(k/k) &= \hat{X}_j(k/k-1) + K_j(k)r_j(k); P_j(k/k) = P_j(k/k-1) - K_j(k)S_j(k)K_j^T(k); \\ \mu_j(k) &= \Lambda_j(k)c_j/c, c = \sum_j \Lambda_j(k)c_j\end{aligned}$$

式中:  $\Lambda_j(k)$  为可能性函数;  $\mu_j(k)$  为模型更新概率;  $c$  为归一化系数。

3) 估计融合:

$$\hat{X}(k/k) = \sum_j \hat{X}_j(k/k)\mu_j(k), P(k/k) = \sum_j \{P_j(k/k) + [\hat{X}_j(k/k) - \hat{X}(k/k)][\hat{X}_j(k/k) - \hat{X}(k/k)]^T\}\mu_j(k)$$

### 1.3 基于 SLRT 的模型集自适应

设  $M_j$  为  $k$  时刻系统所选用的模型集,  $M_j$  的边缘似然为集合中每个模型边缘似然和预测概率的乘积的和, 即  $M_j$  的边缘似然为:

$$L_k^{M_j} = p[\tilde{z}_k | s \in M_j, z^{k-1}] = \sum_{m_j \in M_j} p[\tilde{z}_k | s = m_j, z^{k-1}] p[s = m_j | s \in M_j, z^{k-1}] = \sum_{m_j \in M_j} \Lambda_j(k)c_j \quad (5)$$

式中:  $\tilde{z}$  为测量残差;  $s$  是检验周期内起作用的模式。在残差序列为白色的情况下, 模型集  $M_i$  和  $M_j$  的联合似然比等于模型集合边缘似然比的乘积, 即模型集的联合似然比可表示为:

$$R_a^k = \frac{L_{M_i}^k}{L_{M_j}^k} = \prod_{k_0 \leq k' \leq k} \frac{L_{M_i}^{M_j}}{L_{M_j}^{M_i}} \quad (6)$$

式中  $k_0$  是检测起始时间。

以 2 个模型集为例, 一个周期的模型集自适应包括以下步骤:

1) 根据目标的先验信息, 建立模型集  $M_a$  和  $M_b$ , 通常  $M_a$  和  $M_b$  所包含的模型有较大差异,  $M_a$  和  $M_b$  的并集记为  $M'$ ;

2) 运行 MM 算法得到每个模型的边缘似然和预测概率, 然后由式(5)、(6)得到模型集的联合似然比  $R_a^k$ ;

3) 通过模型集自适应算法的调整, 并利用误差概率, 给出门限值  $A$  和  $B$  如下:  $A = \frac{f}{1-g}$ ,  $B = \frac{1-f}{g}$ 。其中,  $g$  为当模式属于  $M_a$  时选择  $M_b$  的先验概率的极值,  $f$  为当模式属于  $M_b$  时选择  $M_a$  的先验概率的极值通常  $g, f$  取 5% 或 10%。当  $R_a^k \geq B$  时选择模型集合  $M_a$ ; 当  $R_a^k \leq A$  时选择模型集合  $M_b$ ; 两者都不符合时选择总模型集合  $M'$ , 并利用更多的观测继续检验。

### 1.4 LS-VSIMM 算法流程

综上, LS-VSIMM 算法的步骤可归纳如下:

**步骤 1** 首先基于最小二乘原理, 对目标角度测量值进行融合估计, 得到目标位置估计值;

**步骤 2** 将步骤 1 中估计出的目标位置作为新的量测输入, 并运行 MM 估计器, 求出每个模型的边缘似然和预测概率;

**步骤 3** 引入序列似然比进行模式检测, 即通过比较这些模型集的似然来选择最优模型集, 在每个时刻选出一个最适合目标运动状态的模型集;

**步骤 4** 利用步骤 3 中选择出来的模型集, 运行 IMM 算法进行经典的线性卡尔曼滤波, 得到最终融合估计。

## 2 仿真结果

在笛卡儿坐标系中, 设目标的状态向量为  $X_k = [x_k, y_k, z_k, \dot{x}_k, \dot{y}_k, \dot{z}_k]^T$ , 其中  $(x_k, y_k, z_k)$ 、 $(\dot{x}_k, \dot{y}_k, \dot{z}_k)$  分别表

示目标在  $k$  时刻的位置和速度。假定 3 个观测站的位置分别为  $(3 \text{ km}, 0, 0)$ 、 $(0, -4 \text{ km}, 0)$ 、 $(0, 4 \text{ km}, 0)$ 。角度测量误差标准差为  $0.1 \text{ mrad}$ 。

设目标在固定高度上做平行于水平面的机动飞行,运动航迹设置如下:目标起始位置为  $[4 \text{ km}, 8 \text{ km}, 3 \text{ km}]$ ,初始速度为  $[160 \text{ m/s}, 240 \text{ m/s}, 0]$ ,采样间隔  $t = 1 \text{ s}$ 。(1-20)s 作匀速直飞;(21-40)s 以转弯速率为  $7.46^\circ/\text{s}$  右转弯;(41-60)s 作匀速直飞;(61-80)s 以转弯速率为  $7.46^\circ/\text{s}$  左转弯;(81-100)s 作匀速直飞。目标的飞行轨迹见图 1。

模型集合  $M_1$  包含恒速率模型,恒速率转弯模型( $\omega = 7.46^\circ/\text{s}$ );模型集合  $M_2$  包含恒速率模型,恒速率转弯模型( $\omega = -7.46^\circ/\text{s}$ );模型集合  $M$  为  $M_1$  和  $M_2$  的并集。匀速运动模

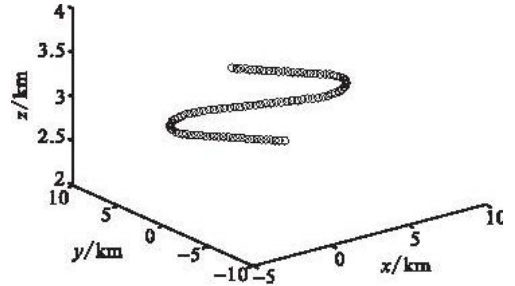


图 1 目标轨迹  
Fig. 1 Target track

型对应的状态转移矩阵  $\varphi$ 、状态噪声协方差矩阵  $Q$ ,恒速率转弯模型对应的状态转移矩阵  $\varphi'$  分别如下:

$$\varphi = \begin{bmatrix} 1 & 0 & 0 & t & 0 & 0 \\ 0 & 1 & 0 & 0 & t & 0 \\ 0 & 0 & 1 & 0 & 0 & t \\ 0 & 0 & 0 & 1 & 0 & 0 \\ 0 & 0 & 0 & 0 & 1 & 0 \\ 0 & 0 & 0 & 0 & 0 & 1 \end{bmatrix}, Q = \begin{bmatrix} \frac{1}{4}t^4 & 0 & 0 & \frac{1}{2}t^3 & 0 & 0 \\ 0 & \frac{1}{4}t^4 & 0 & 0 & \frac{1}{2}t^3 & 0 \\ 0 & 0 & \frac{1}{4}t^4 & 0 & 0 & \frac{1}{2}t^3 \\ \frac{1}{2}t^3 & 0 & 0 & t^2 & 0 & 0 \\ 0 & \frac{1}{2}t^3 & 0 & 0 & t^2 & 0 \\ 0 & 0 & \frac{1}{2}t^3 & 0 & 0 & t^2 \end{bmatrix}, \sigma_v^2, \varphi' = \begin{bmatrix} 1 & 0 & 0 & \frac{\sin(\omega t)}{\omega} & \frac{\cos(\omega t) - 1}{\omega} & 0 \\ 0 & 1 & 0 & \frac{1 - \cos(\omega t)}{\omega} & \frac{\sin(\omega t)}{\omega} & 0 \\ 0 & 0 & 1 & 0 & 0 & 1 \\ 0 & 0 & 0 & \cos(\omega t) & -\sin(\omega t) & 0 \\ 0 & 0 & 0 & \sin(\omega t) & \cos(\omega t) & 0 \\ 0 & 0 & 0 & 0 & 0 & 1 \end{bmatrix}$$

其中  $\sigma_v$  为模型状态噪声根方差;  $\omega$  为转弯速率,  $\omega > 0$  表示逆时针转弯,  $\omega < 0$  表示顺时针转弯。恒速率转弯模型状态噪声协方差阵与匀速模型的相同。

在 IMM 算法中,当选用模型集合  $M_1$  或  $M_2$  时,模型之间的转移概率矩阵为:  $\pi = \begin{bmatrix} 0.9 & 0.1 \\ 0.1 & 0.9 \end{bmatrix}$ ;当选用模

型集合  $M$  时,模型之间的转移概率矩阵为:  $\pi = \begin{bmatrix} 0.98 & 0.01 & 0.01 \\ 0.2 & 0.795 & 0.005 \\ 0.2 & 0.005 & 0.795 \end{bmatrix}$ 。

模型集合  $M_1, M_2$  中 2 个模型的初始概率为  $\mu_1(0) = 0.98, \mu_2(0) = 0.02$ ;模型集合  $M$  中 3 个模型的初始概率为:  $\mu_1(0) = 0.98, \mu_2(0) = 0.01, \mu_3(0) = 0.01$ 。初始方差矩阵  $P(0) = \text{diag}(10^{-6} \times [600 \ 600 \ 600 \ 100 \ 100 \ 100])$ 。每个模型的状态噪声根方差设为  $20 \text{ m/s}^2$ 。

图 2、图 3 分别为在相同实验条件下,采用相同参数时,基于最小二乘交互多模型(LS-IMM)算法<sup>[12]</sup>和 LS-VSIMM 算法在 3 个方向上的位置误差。

为了更好地验证 LS-VSIMM 算法的有效性,在相同的实验条件下,采用 Monte-Carlo 方法,将该算法与 LS-IMM 算法进行比较。用 Matlab 软件进行 100 次仿真并进行统计,分别得到 2 种算法位置的均方根误差,见图 4 所示。仿真结果表明,本文提出的 LS-VSIMM 算法均方根误差小于 LS-IMM 算法,目标跟踪精度总体提高了 26.85%。

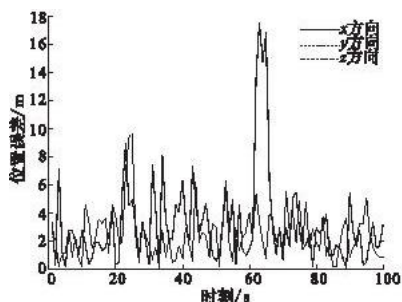


图2 LS-IMM 位置误差

Fig. 2 Position error of LS-IMM

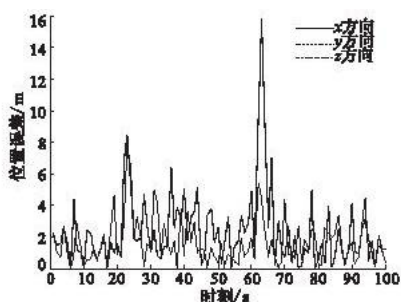


图3 LS-VSMM 位置误差

Fig. 3 Position error of LS-VSMM

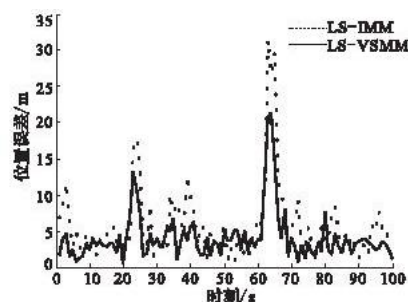


图4 均方误差

Fig. 4 RMS errors

### 3 结束语

本文针对干扰环境下被动跟踪存在的一些问题,首先基于最小二乘原理对角度量测进行预处理,然后引入序列似然比检测法以进行模型集自适应,提出了一种新的被动跟踪算法。仿真结果表明,在干扰环境下对机动目标进行被动跟踪时,在不增加模型数量的情况下,新算法拥有更好的跟踪效果。

#### 参考文献:

- [1] 盛琥, 杨景曙, 曾芳玲. 一种改进的机动目标跟踪方法[J]. 数据采集与处理, 2009, 24(1):105-108.  
SHENG Hu, YANG Jingshu, ZENG Fangling. Improved algorithm for maneuvering target tracking[J]. Journal of data acquisition & processing, 2009, 24(1):105-108. (in Chinese)
- [2] 邱玲, 沈振康. 三维纯角度被动跟踪定位的最小二乘-卡尔曼滤波算法[J]. 红外与激光工程, 2001, 30(2):83-86.  
QIU Ling, SHEN Zhenkang. LS-Kalman algorithm for passive target location and tracking with bearing-only measurements [J]. Infrared and laser engineering, 2001, 30(2):83-86. (in Chinese)
- [3] Mazor E, Averbuch A, BarShalom Y, et al. Interacting multiple model methods in target tracking: a survey[J]. IEEE trans on AES, 1998, 34(1): 103-123.
- [4] Blom H A, BarShalom Y. The interacting multiple model algorithm for systems with markovian switching coefficient[J]. IEEE trans on AC, 1988, 33(8): 780-783.
- [5] Qu HongQuan, Li ShaoHong. The model set multiple hypotheses IMM algorithm for maneuvering target tracking[C]//International conference on software process. Beijing: Chinese academy of sciences, 2008:2302-2305.
- [6] 陈晓峰, 嵇成新, 陈阳. 机动目标跟踪中的多模型算法[J]. 舰船电子对抗, 2008, 31(1):85-88.  
CHEN Xiaofeng, JI Chengxin, CHEN Yang. Multi-model algorithm for maneuvering target tracking[J]. Shipboard electronic counter measure, 2008, 31(1):85-88. (in Chinese)
- [7] Li X R, Shalom Y Bar. Performance prediction of the IMM algorithms[J]. IEEE trans on AES, 1993, 29(3):755-770.
- [8] Li X R, Zhang X. Multiple-model estimation with variable structure part III: Model-group switching algorithm[J]. IEEE trans on AES, 1999, 35(1):225-240.
- [9] Li X R, Zhang Youmin. Multiple model estimation with variable structure part V: likely-model set algorithm[J]. IEEE trans on AES, 2001, 36(2): 448-466.
- [10] Li X R. Multiple-model estimation with variable structure [J]. IEEE trans on AC, 1996, 41(4): 478-493.
- [11] Li X R. Multiple-model estimation with variable structure-part II: model-set adaptation[J]. IEEE trans on AC, 2000, 45(11): 2047-2060.
- [12] 宋骊平, 姬红兵. 多站测角的最小二乘交互多模型跟踪算法[J]. 西安电子科技大学学报:自然科学版, 2008, 35(2): 242-247.  
SONG Liping, JI Hongbing. Least squares interacting multiple model algorithm for passive multi-sensor maneuvering target tracking[J]. Journal of xidian university: natural science edition, 2008, 35(2):242-247. (in Chinese)

(编辑:徐敏)

(下转第 81 页)